

# **CALCUL MOLÉCULAIRE**

**OU JETEZ VOS PCs DANS LA POUBELLE**

# Ordinateur moléculaire

Pourquoi ?

- vitesse
- coûts
- «car c'est là»
- médecin dans la cellule ([Labo de Shapiro](#)) :  
observe les chemins de signalisation, produit des signaux (c-à-d enzymes) lui-même, traitement de maladies au niveau cellulaire

# Implantation par biotech

Rappel : notre répertoire d'outils de biotechnologie

- hybridation
- PCR
- enzymes de restriction
- clonage
- electrophoresis
- séquençage

# Encodage

Encodage d'information par ADN : c'est presque trivial :)

Exemple : message secret (*microdot*)

A=CGA      K=AAG

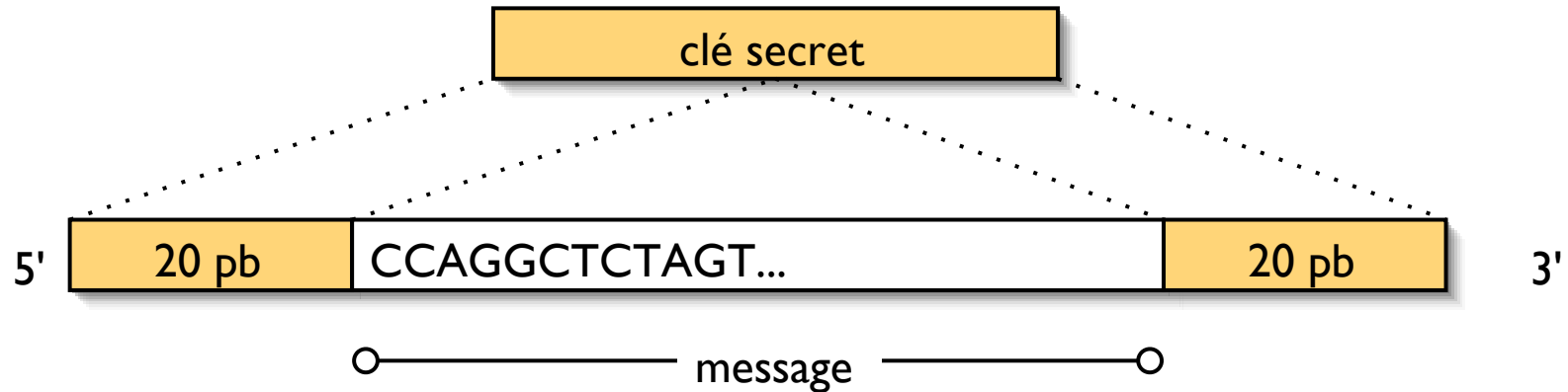
B=CCA      L=TGC

C=GTT      M=TCC

...

«Bonjour la tristesse» → CCAGGGCTCTAGT...

# Message secret - 2

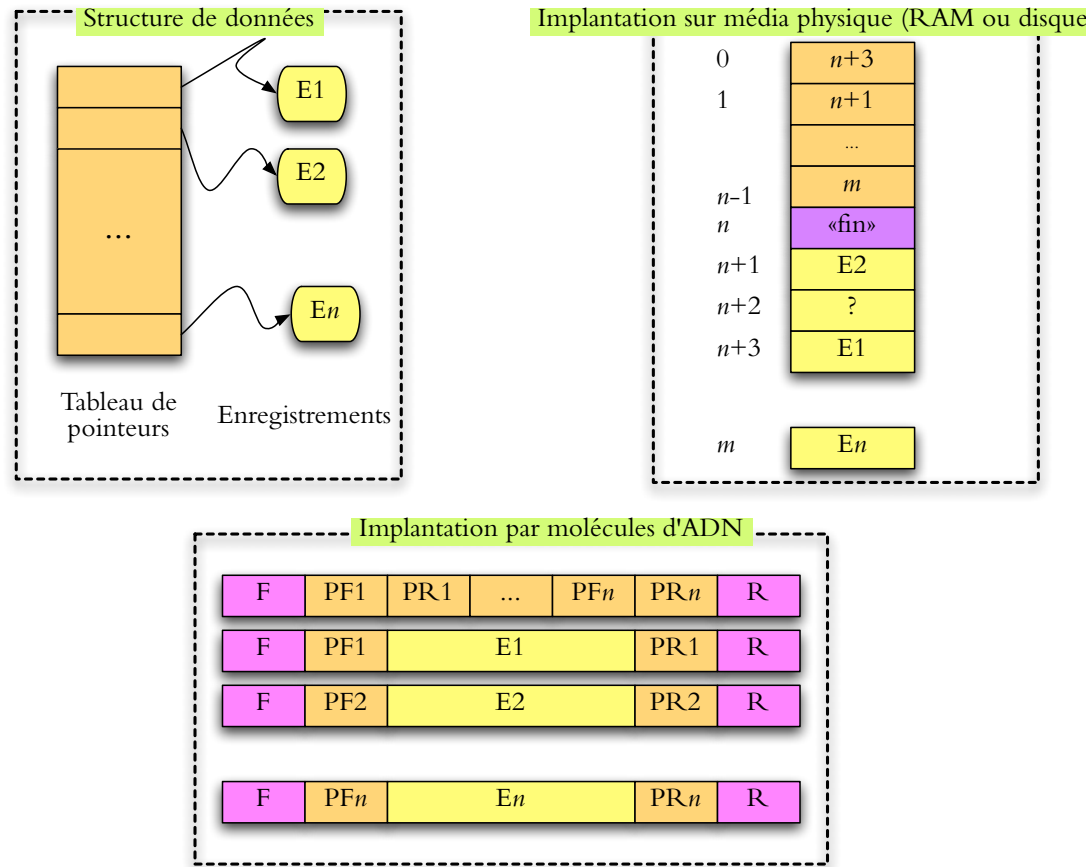


mélanger le message secret avec d'autres molécules ADN

amplification du message par PCR — il faut savoir le clé secret (nombre de possibilités :  $4^{40}$ )

Clelland & al. *Nature* 399 :533 (1999)

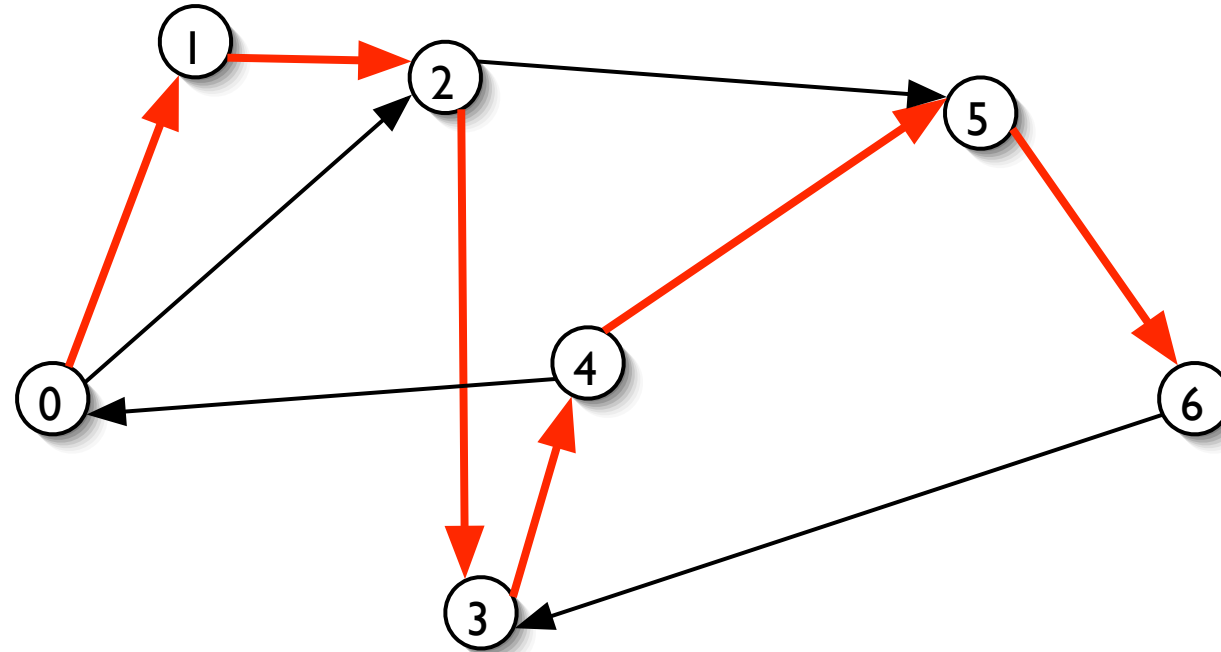
# Stockage d'information



Bancroft & al. Science 293 :1763 (2001)

# Encodage de graphes

Expérience classique de Leonard Adleman (1994) : chemin Hamiltonien



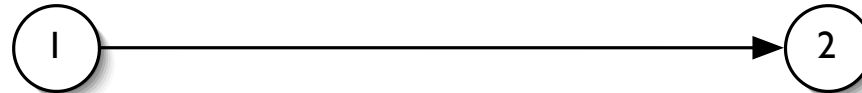
# Encodage de graphes - 2

Noeuds encodés par oligonucléotides  $O_i = O_i^{(g)}O_i^{(d)}$ , arêtes encodés par oligos  
 $O_{ij} = O_i^{(d)}O_j^{(g)}$

mélanger :  $\overline{O_i}$ , pour  $i = 1, \dots, 5$  (complément Watson-Crick) ;  $O_{ij}$

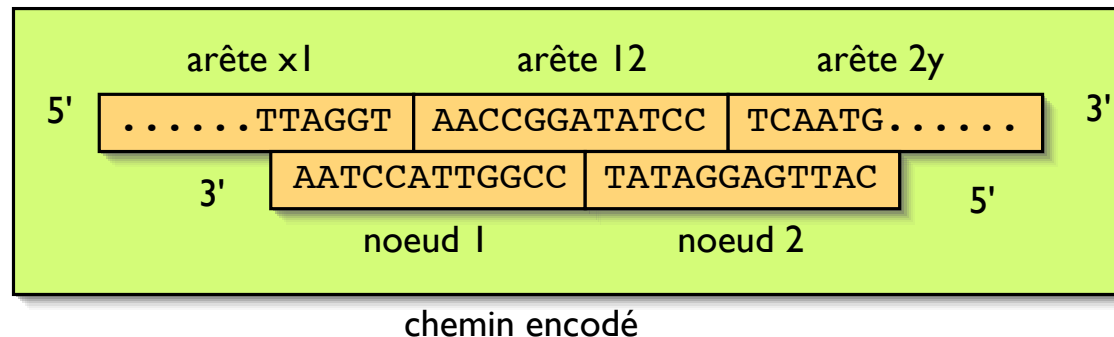
# Encodage de graphes - 3

$0_1$   
5' — TTAGGTAACCGG — 3'  
 $0_2$   
5' — ATATCCTCAATG — 3'



5' — AACCGGATATCC — 3'

$0_{12}$



# Encodage de graphes - 4

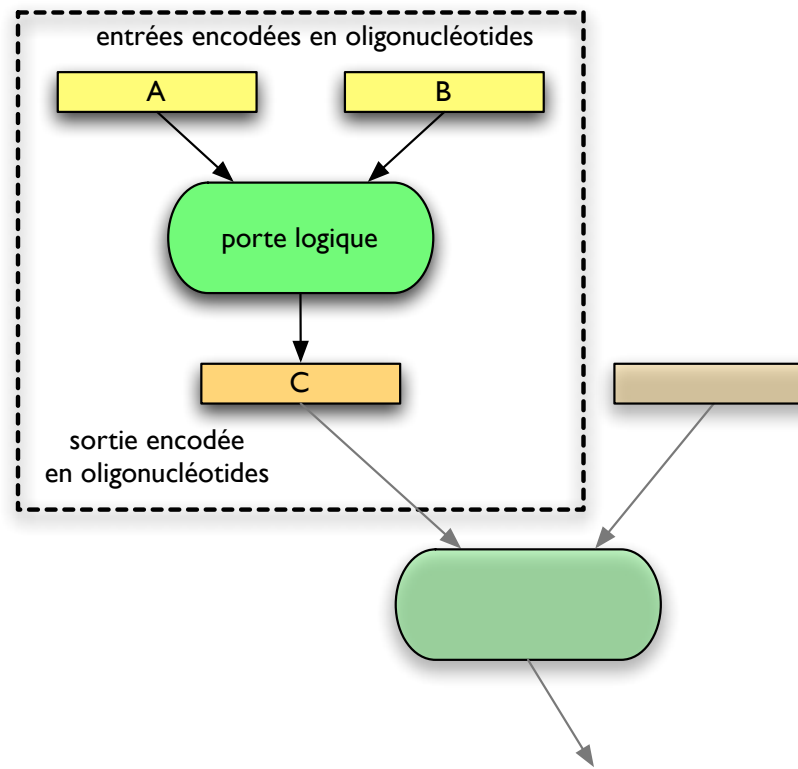
chaque molécule formée correspond à un chemin :

1. amplification par PCR (filtrer les chemins  $0 \rightarrow 6$ )
2. mesurer la longueur
3. filtrer par chaque  $O_i$  pour vérifier sa présence

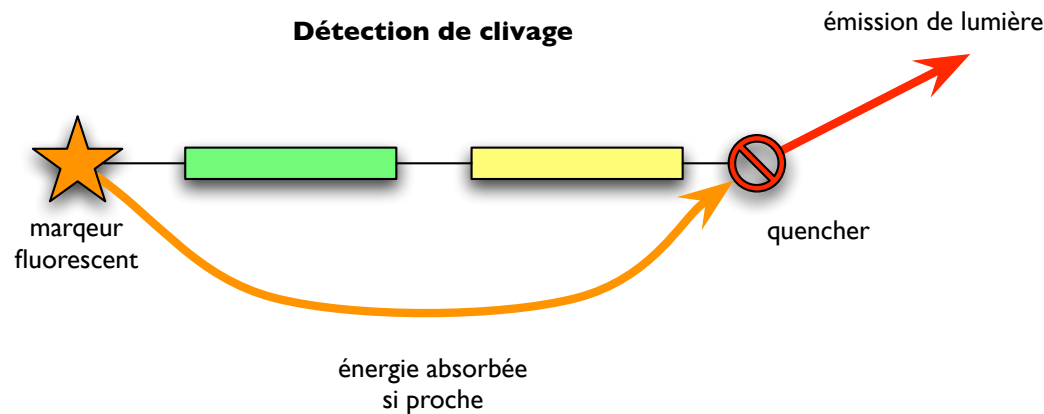
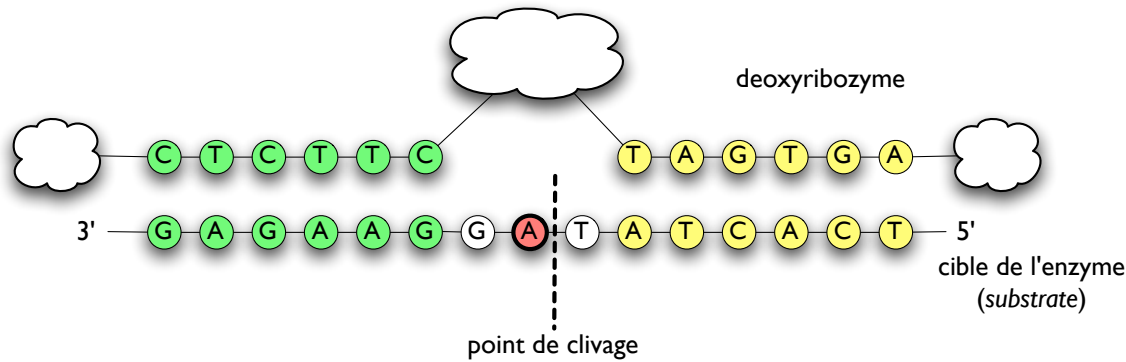
Problèmes : espace exponentiel (nombre exponentiel de chemins), modèle de calcul (formation de molécules en une dimension à partir d'un ensemble de pièces) est décidable  $\Rightarrow$  n'est pas aussi puissant que la machine de Turing

# Portes logiques

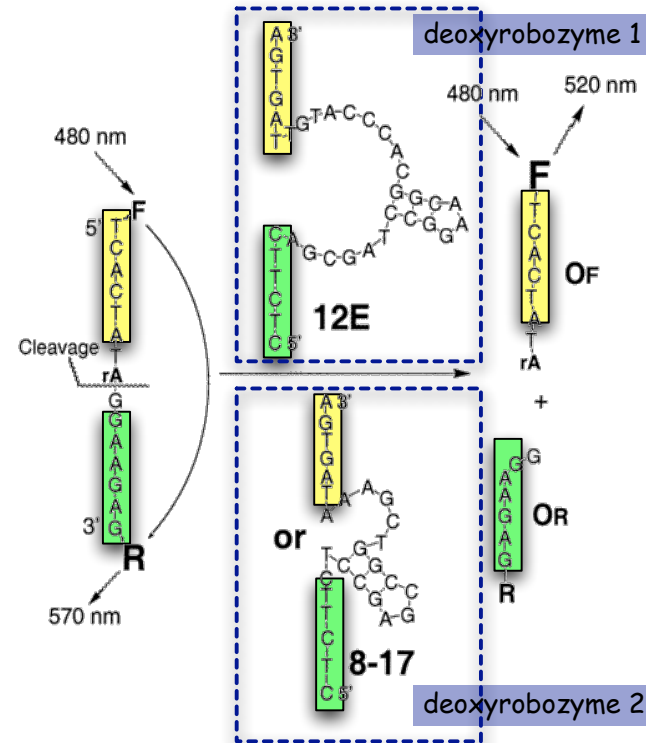
concept de base



# Implantation — components de base

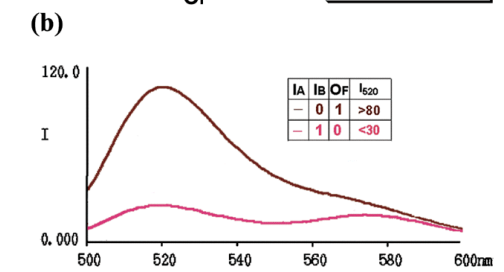
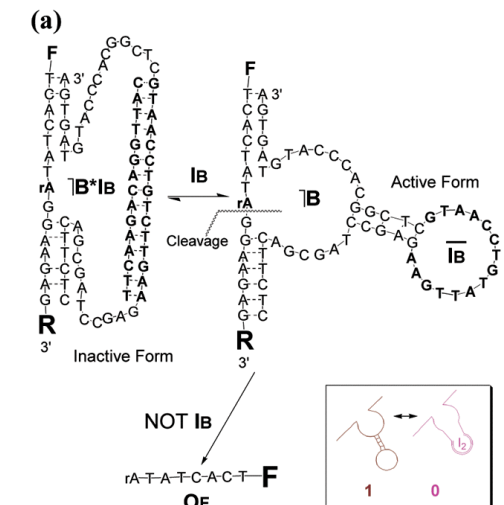
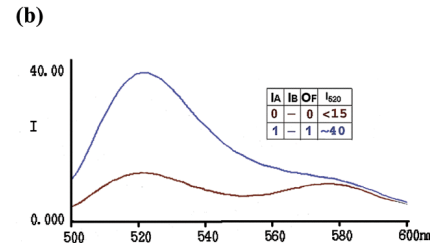
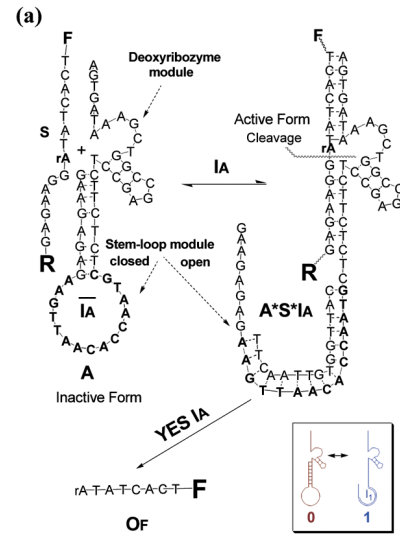


# Détails



Stojanovic, Mitchell, Stefanovic. *J Am Chem Soc* 124 :3555 (2002)

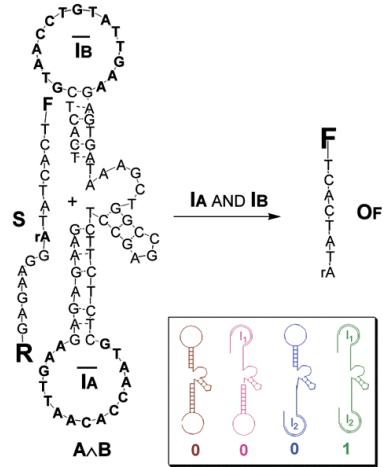
# Portes logiques : OUI et NON



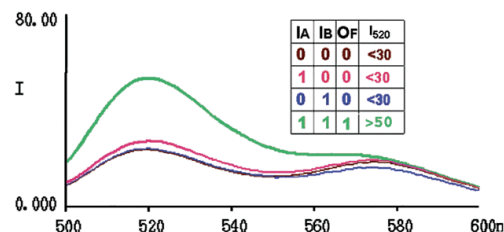
OU logique : mixte de OUI ; NON-ET logique : mixte de NON (de Morgan)

# Portes logiques : ET et ET-NON

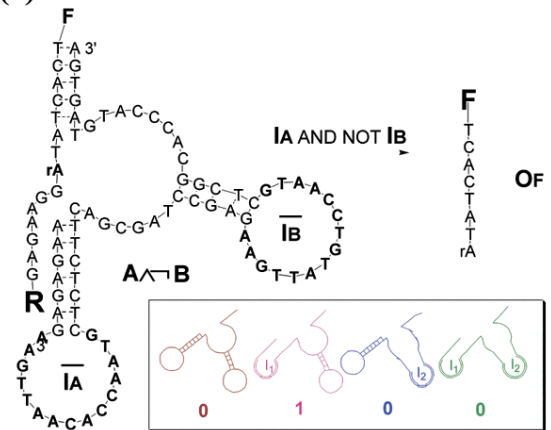
(a)



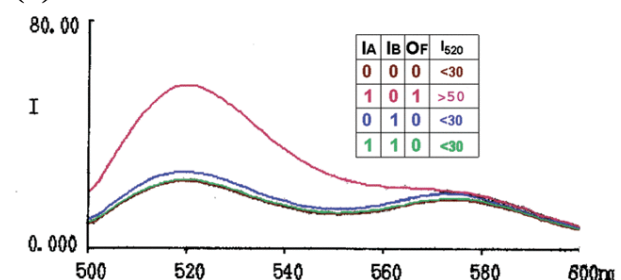
(b)



(a)



(b)

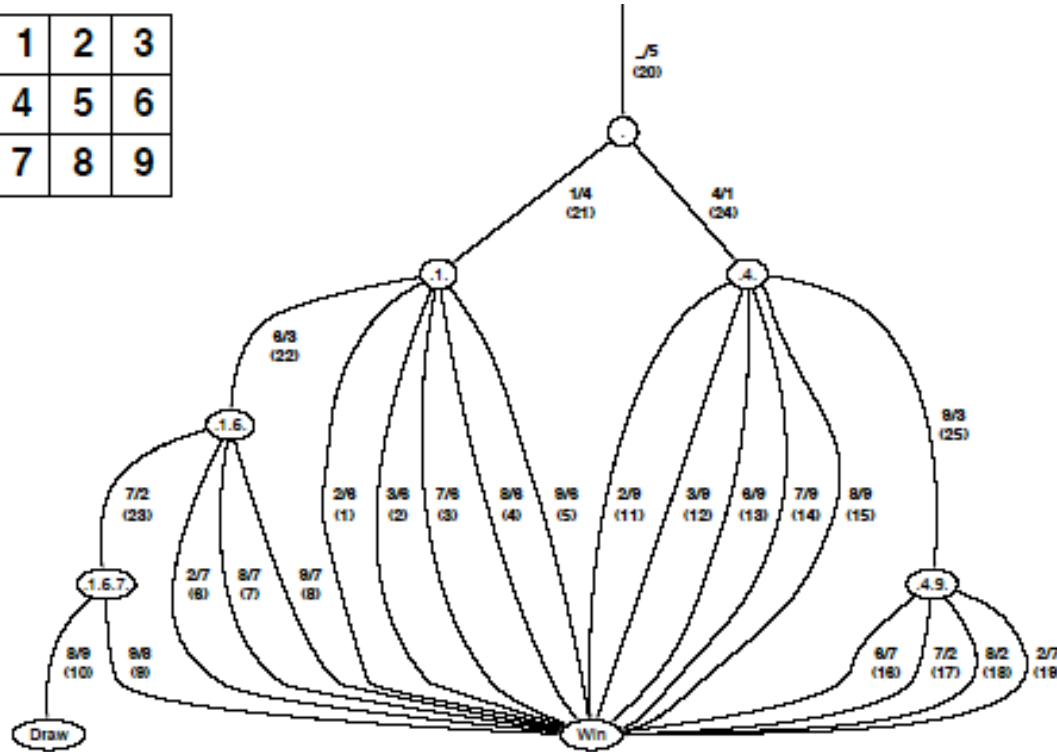


OU exclusive : mixte de ET-NON

# Jouer au tic-tac-toe

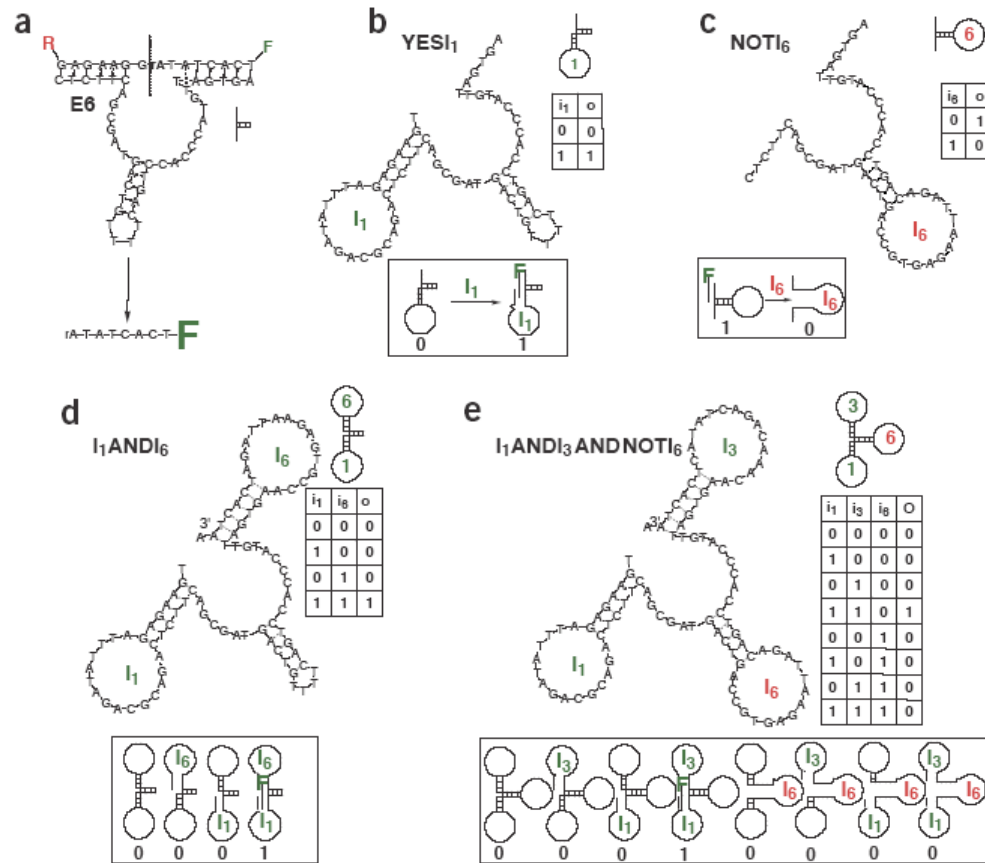
La meilleure stratégie...

1	2	3
4	5	6
7	8	9



Stojanovic & Stefanovic. Nat Biotechnol 21 :1069 (2003)

# Tic-tac-toe : portes



Stojanovic & Stefanovic. Nat Biotechnol 21 :1069 (2003)

# Tic-tac-toe : expressions logiques

$$o_1 \leftarrow \underbrace{i_4}_{24}$$

$$o_2 \leftarrow (\underbrace{i_1 \wedge i_6 \wedge i_7}_{23}) \parallel (\underbrace{i_4 \wedge i_9 \wedge i_7}_{17}) \parallel (\underbrace{i_4 \wedge i_9 \wedge i_8}_{18})$$

$$o_3 \leftarrow (\underbrace{i_1 \wedge i_6}_{22}) \parallel (\underbrace{i_4 \wedge i_9}_{25})$$

$$o_4 \leftarrow \underbrace{i_1}_{21}$$

$$o_5 \leftarrow \underbrace{1}_{20}$$

$$o_6 \leftarrow (\underbrace{i_1 \wedge i_2}_1) \parallel (\underbrace{i_1 \wedge i_5}_2) \parallel (\underbrace{i_1 \wedge i_7}_3) \parallel (\underbrace{i_1 \wedge i_8}_4) \parallel (\underbrace{i_1 \wedge i_9}_5)$$

$$o_7 \leftarrow (\underbrace{i_1 \wedge i_6 \wedge i_2}_6) \parallel (\underbrace{i_1 \wedge i_6 \wedge i_8}_7) \parallel (\underbrace{i_1 \wedge i_6 \wedge i_9}_8) \parallel (\underbrace{i_4 \wedge i_9 \wedge i_5}_{10}) \parallel (\underbrace{i_4 \wedge i_9 \wedge i_2}_{19})$$

$$o_8 \leftarrow \underbrace{i_1 \wedge i_6 \wedge i_7 \wedge i_9}_9$$

$$o_9 \leftarrow (\underbrace{i_1 \wedge i_6 \wedge i_7 \wedge i_8}_{10}) \parallel (\underbrace{i_4 \wedge i_2}_{11}) \parallel (\underbrace{i_4 \wedge i_3}_{12}) \parallel (\underbrace{i_4 \wedge i_6}_{13}) \parallel (\underbrace{i_4 \wedge i_7}_{14}) \parallel (\underbrace{i_4 \wedge i_8}_{15})$$

$$o_1 = \underbrace{i_4}_{24}$$

$$o_2 = (\underbrace{i_6 \wedge i_7 \wedge \neg i_2}_{23}) \vee (\underbrace{i_7 \wedge i_9 \wedge \neg i_1}_{17}) \vee (\underbrace{i_8 \wedge i_9 \wedge \neg i_1}_{18})$$

$$o_3 = (\underbrace{i_1 \wedge i_6}_{22}) \vee (\underbrace{i_4 \wedge i_9}_{25})$$

$$o_4 = \underbrace{i_1}_{21}$$

$$o_5 = \underbrace{1}_{20}$$

$$o_6 = (\underbrace{i_1 \wedge i_2 \wedge \neg i_6}_1) \vee (\underbrace{i_1 \wedge i_3 \wedge \neg i_6}_2) \vee (\underbrace{i_1 \wedge i_7 \wedge \neg i_6}_3) \vee (\underbrace{i_1 \wedge i_8 \wedge \neg i_6}_4) \vee (\underbrace{i_1 \wedge i_9 \wedge \neg i_6}_5)$$

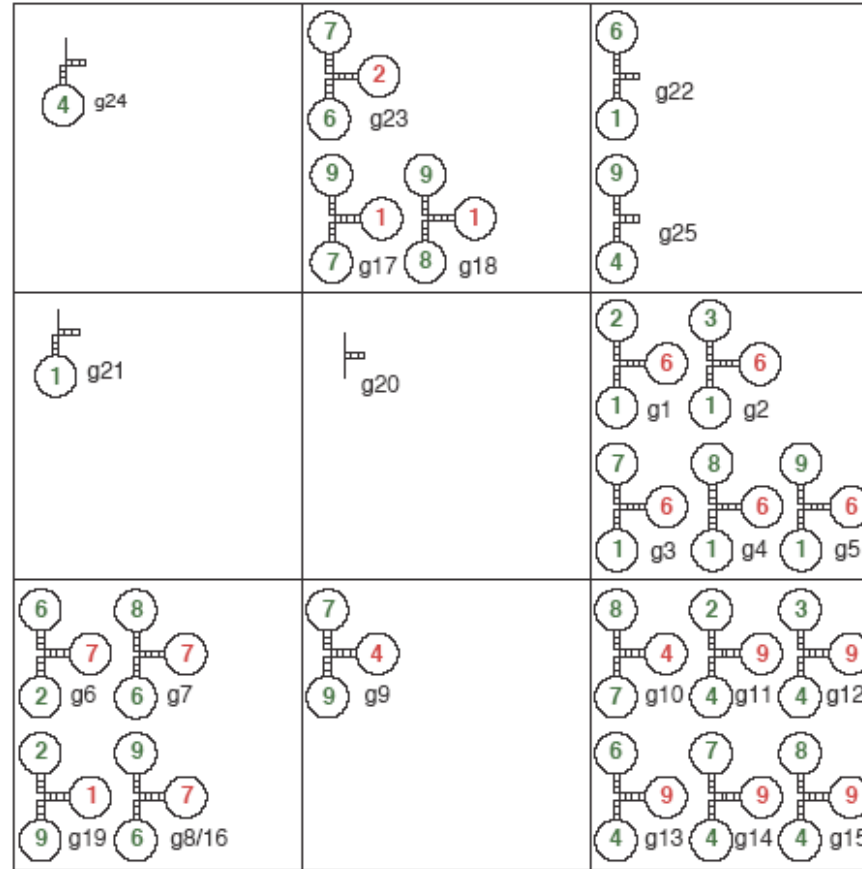
$$o_7 = (\underbrace{i_2 \wedge i_6 \wedge \neg i_7}_6) \vee (\underbrace{i_6 \wedge i_9 \wedge \neg i_7}_7) \vee (\underbrace{i_6 \wedge i_9 \wedge \neg i_7}_{8 \text{ and } 10}) \vee (\underbrace{i_9 \wedge i_2 \wedge \neg i_1}_{19})$$

$$o_8 = \underbrace{i_9 \wedge i_7 \wedge \neg i_4}_9$$

$$o_9 = (\underbrace{i_7 \wedge i_8 \wedge \neg i_4}_{10}) \vee (\underbrace{i_4 \wedge i_2 \wedge \neg i_9}_{11}) \vee (\underbrace{i_4 \wedge i_3 \wedge \neg i_9}_{12}) \vee (\underbrace{i_4 \wedge i_6 \wedge \neg i_9}_{13}) \vee (\underbrace{i_4 \wedge i_7 \wedge \neg i_9}_{14}) \vee (\underbrace{i_4 \wedge i_8 \wedge \neg i_9}_{15})$$

if faut transformer l'expression initiale [gauche] pour l'implantation

# Voilà La machine !



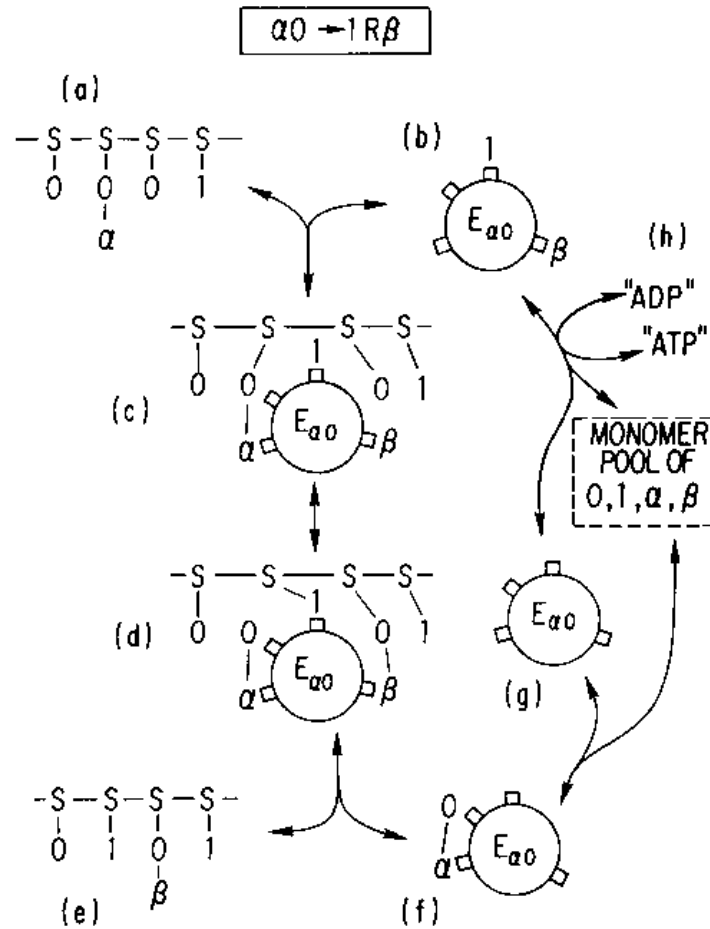
Stojanovic & Stefanovic. *Nat Biotechnol* 21 :1069 (2004)

# Ordinateur moléculaire

logiciel, entrée, sortie, hardware

on veut implanter une machine de Turing universelle à l'aide d'ADN, enzymes, etc.

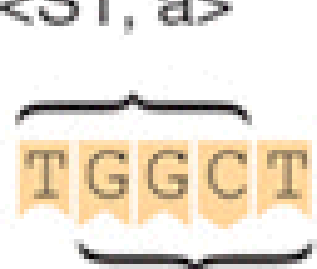
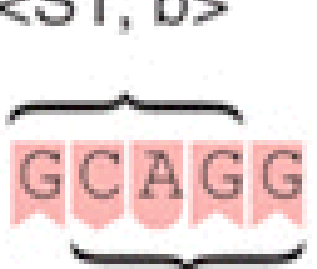
# Machine de Turing moléculaire



Bennett *Int J Theor Phys* 21 :905 (1982)

# Calcul par automate fini

Automate fini à deux états :  $S_0$  et  $S_1$ , alphabet :  $\{a, b\}$

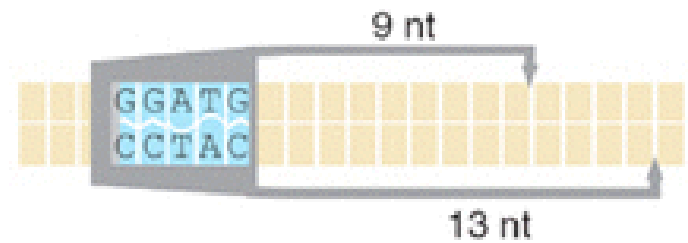
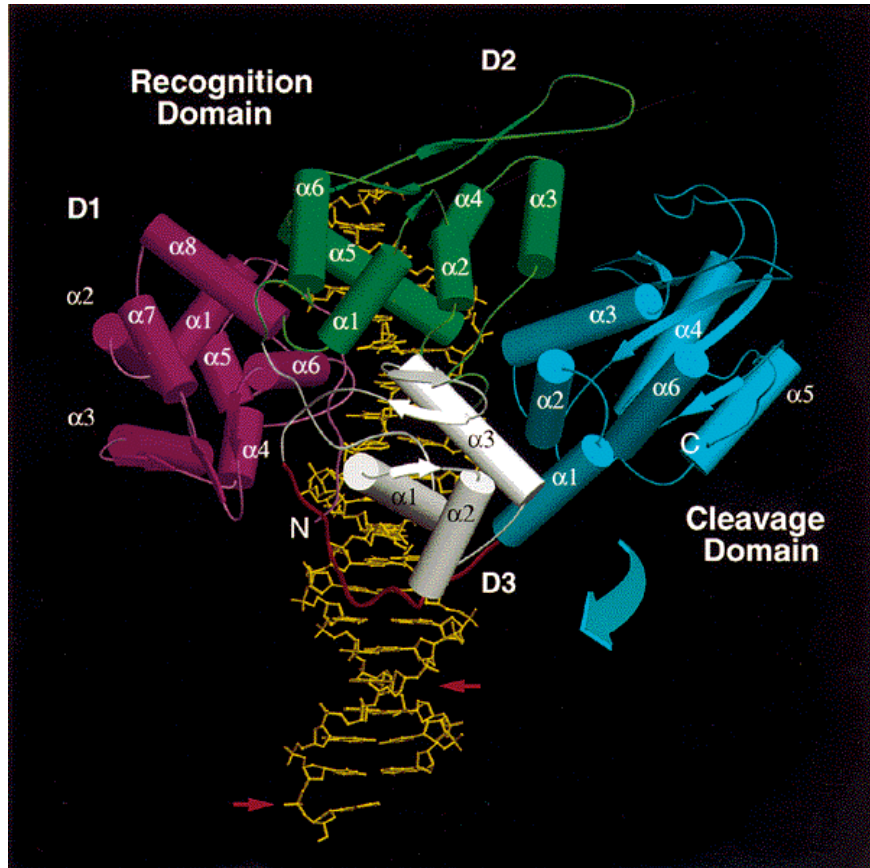
Symbol	a	b	terminator (t)
encodings & $\langle$ state, symbol $\rangle$	$\langle S_1, a \rangle$ 	$\langle S_1, b \rangle$ 	$\langle S_1, t \rangle$ 
sticky ends	$\langle S_0, a \rangle$	$\langle S_0, b \rangle$	$\langle S_0, t \rangle$

Benenson & al. PNAS 100 :2191 (2003)

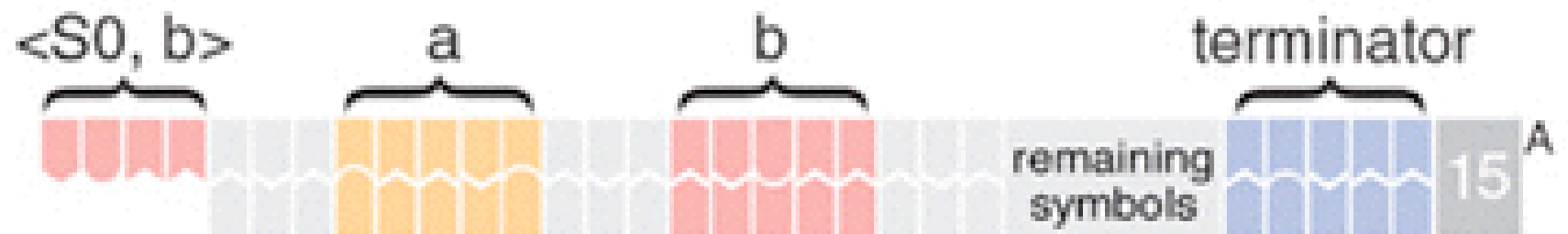
# AF : transitions



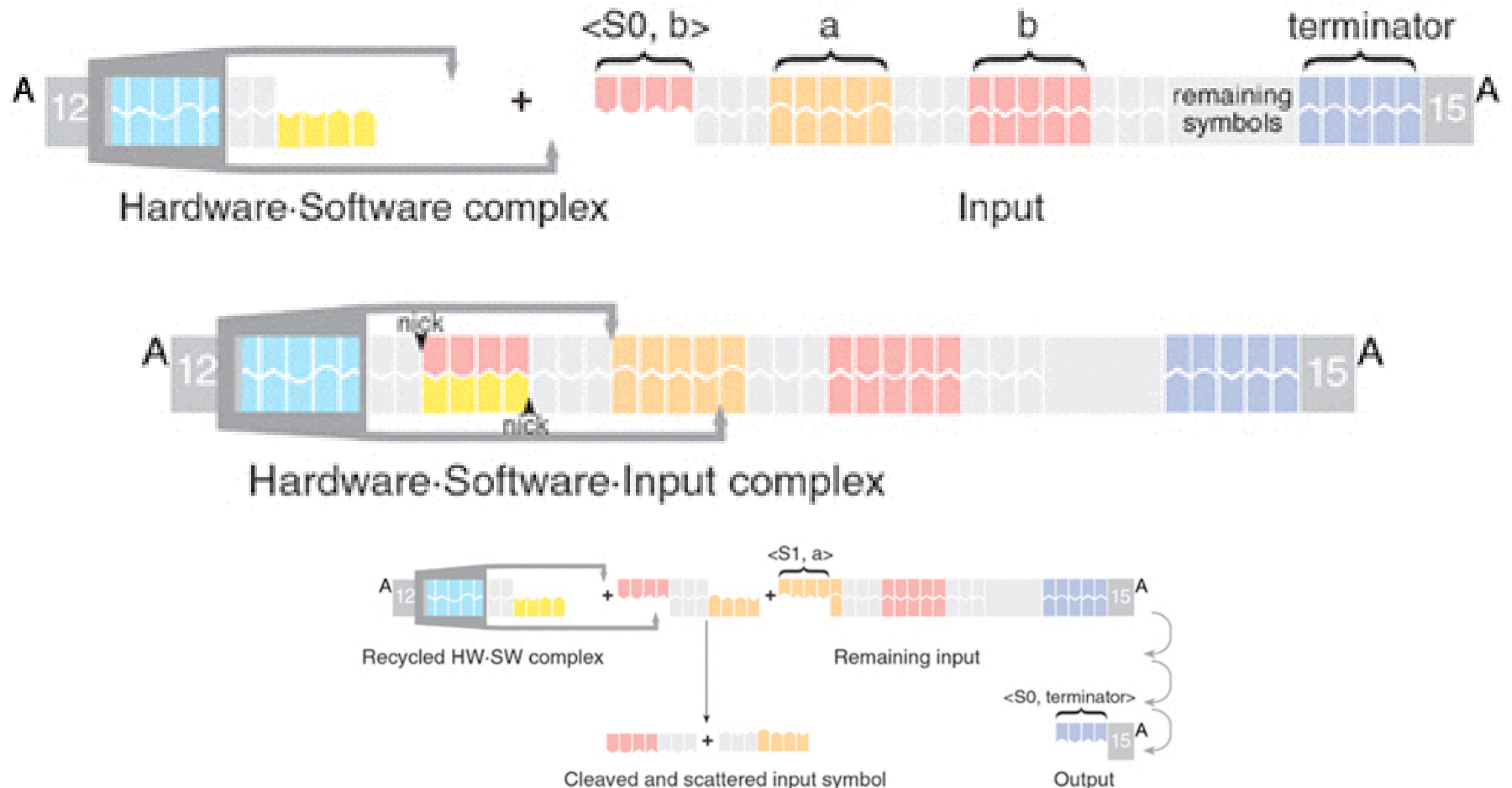
# AF : hardware — FokI



# AF : configurations



# AF : calcul

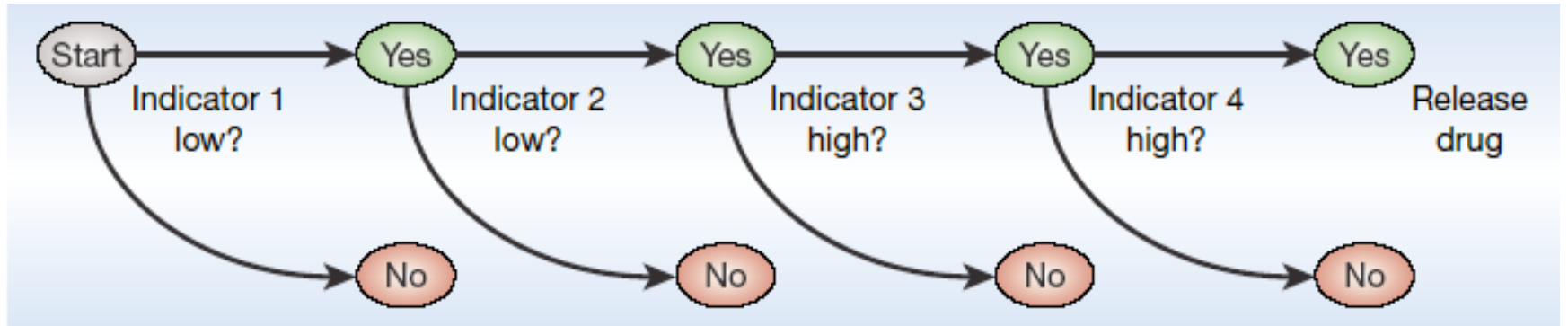


# Vitesse et énergie

vitesse du calcul : 20–40s par transition (mais  $6.6 \cdot 10^{10} s^{-1}$  par  $\mu l$  ... 66 GHz)

énergie :  $34kT$  où  $k = 1.38 \cdot 10^{-23} JK^{-1}$  (min :  $0.5kT$ , neurones :  $10^{11}kT$ )

# «Médicament intelligent»

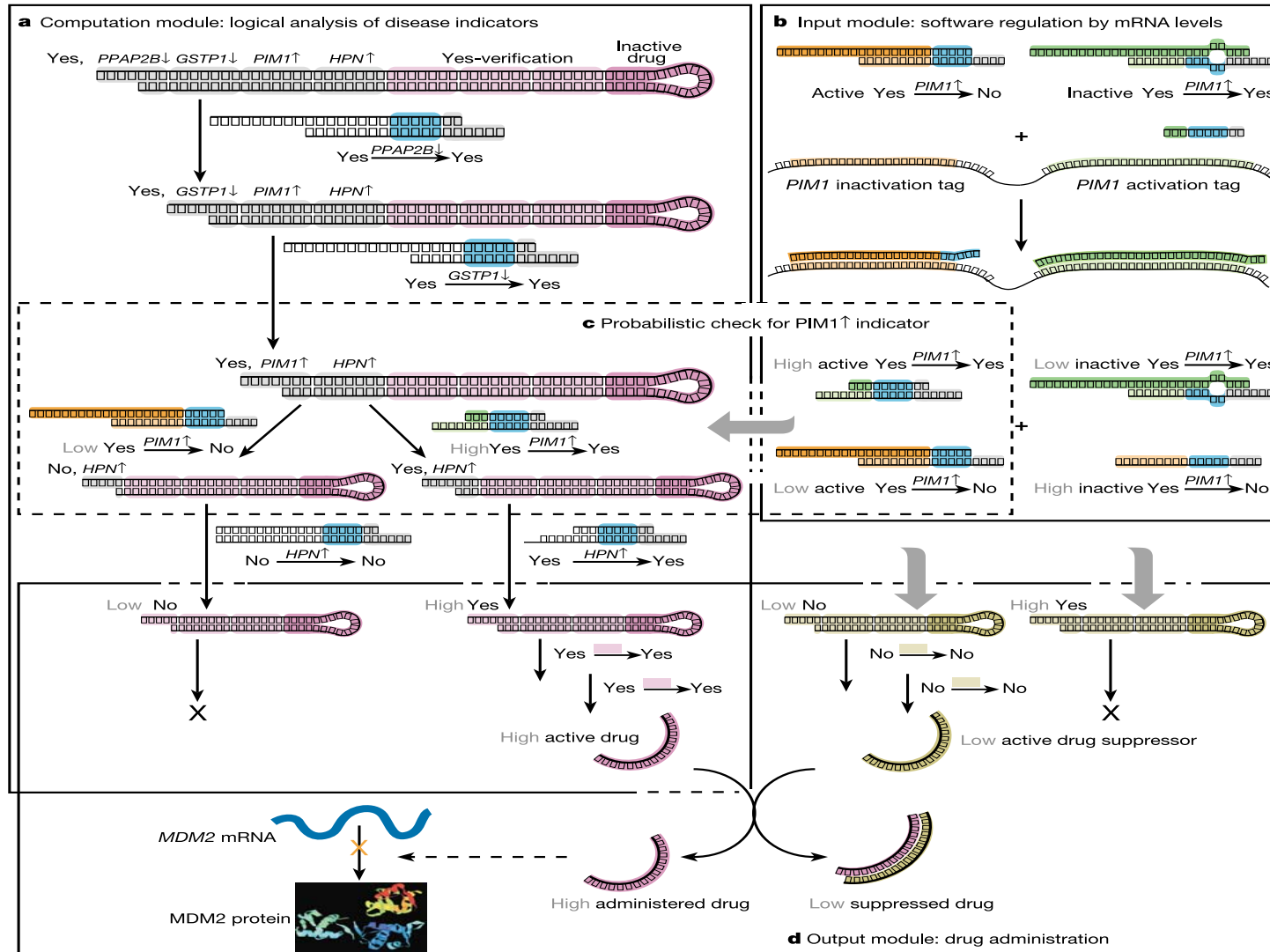


configurations encodées de même façon qu'avant ; transitions exécutées par FokI

challenge : lier le niveau d'expression d'un gène au symbole qui l'encode

Condon. *Nature* 429 :351 (2004)

# $10^{12}$ ordinateurs dans une goutte d'eau



Benenson et al. *Nature* 429 :423 (2004); Ehud Shapiro